

## Study of The Optical Properties of Copper Oxide Thin Films Prepared by Chemical Spray Pyrolysis Technique

O. Ayed <sup>(1)</sup>, M. A. Al-Jubbori <sup>(2)</sup>, H. H. Algdirree <sup>(3)</sup>

<sup>(1, 2)</sup> Department of Physics • Collage of Education for Pure Sciences • University of Mosul • Mosul • Iraq

<sup>(3)</sup> Department of Physics • Faculty of Science • University of Zawia • Zawia • Libya

### Article information

#### Article history:

Received: February 15, 2024

Revised: March 18, 2024

Accepted: March 30, 2024

Available online: June 01, 2024

#### Keywords:

CSP

Copper oxide

Optical properties

#### Correspondence:

[mushtaq.phy@uomosul.edu.iq](mailto:mushtaq.phy@uomosul.edu.iq)

(Mushtaq Al-Jubbori)

### Abstract

In this paper, thin films of Copper Oxide (CuO) were deposited on glass substrates using the chemical spray pyrolysis method at different temperatures (300, 350 and 400)°C under a pressure of 2 bar. The deposition involved spraying the chemical solution at a rate of 10 sprays, periodic time 10s. The chemical spray pyrolysis system was assembled, prepared, and configured to produce the materials in the form of thin films for this study. The optical properties of these films were investigated by measuring the absorbance and reflectance spectra for wavelengths ranging from (190-1100) nm using a UV-VIS Double Beam Spectrometer. The results indicated that the absorbance varied with wavelength, exhibiting an inverse behavior to transmittance. It started with the highest value at a wavelength of 328 nm, and the absorption spectrum exhibited a systematic decay with increasing wavelength until reaching the lowest value at 910 nm. It was observed that the absorbance spectrum remained constant within the range of 910 to 700 nm. The highest absorbance value was recorded at a temperature of 300°C, while the lowest was at 400°C. This trend was also observed in the optical reflectance. The forbidden energy gap for allowed direct transitions was calculated, and the results showed values ranging from (2.68 to 2.59) eV, decreasing with increasing temperatures. Some optical constants of the prepared films were also calculated, indicating a decrease in the absorption coefficient, extinction coefficient, and refractive index with increasing temperatures on the glass substrates used for deposition.

DOI: [10.33899/edusj.2024.146903.1426](https://doi.org/10.33899/edusj.2024.146903.1426), ©Authors, 2024, College of Education for Pure Science, University of Mosul.  
This is an open access article under the CC BY 4.0 license (<http://creativecommons.org/licenses/by/4.0/>).

### 1. المقدمة

منذ قرون عديدة اهتم الكثير من العلماء بتحضير الأغشية الرقيقة وذلك لأهميتها البارزة في الكثير من البحوث التطبيقية والنظرية في فiziاء الحالة الصلبة [1]. إن الأغشية الرقيقة مهمة من حيث الاستخدام في الصناعات الالكترونية بما فيها أشباه الموصلات [2]. ان مصطلح الأغشية الرقيقة يستخدم لوصف طبقة او طبقات عديدة (Layers) من ذرات وجزيئات متاهية الصغر للمادة التي لا يتعدى سمكها مايكرومتر واحد أو عدة نانومترات، ولأنها رقيقة وهشة فإنه يفضل ترسيبها على مادة صلبة مثل الزجاج أو السيليكون أو بعض الأملاح أو البوليمرات، وتمتلك الأغشية الرقيقة خصائص ومميزات تميزها عن غيرها من المواد الأخرى، ان أحد هذه الميزات هي

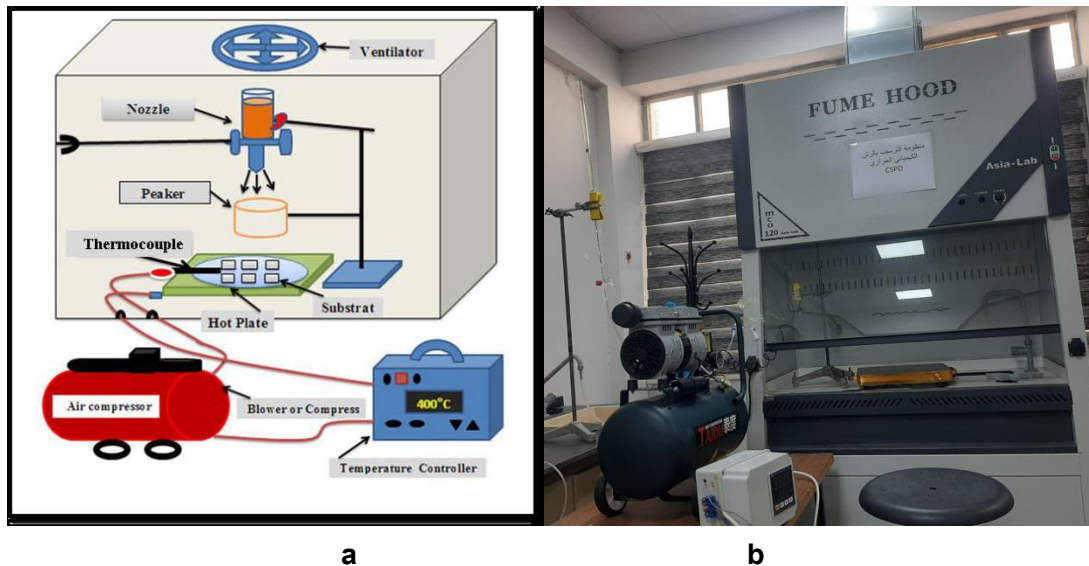
تتمتع الأغشية بخصائص فизيائية تختلف عن خصائص المواد المكونة لها وهي في حالتها الحجمية (bulk)[3]. نظراً للمساهمات الكبيرة التي تقدمها هذه التقنية في تطور ودراسة اشباه الموصلات فقد سعى الباحثون الى إيجاد وابتكار طرائق عديدة لتحضير الأغشية الرقيقة وكل طريقة خواص عده، حيث تكون بعضها بسيطة وأخرى معقدة. ان اختلاف واختيار طريقة الترسيب يعتمد على عوامل عديدة منها المجال الذي تستخدم فيه مع مواصفات الغشاء المكون من أنواع المواد المستخدمة وايضا يتم الاخذ بالحسبان نوع القاعدة التي يتم الترسيب عليها وتكلفة الإنتاج. من الممكن تصنيف طرائق تحضير الأغشية الى مجموعتين المجموعة الأولى هي الطرائق الفيزيائية وتتضمن طريقة الاستئصال باللليزر، أو الطلاء الاليوني، والتبيخ الحراري في الفراغ، والترذيز ويكون بعدة طرق مثل الرش بالترددات الراديوية، والترذيز المغناطيسي، والترذيز بالتيار المباشر، اما المجموعة الثانية هي الطرائق الكيميائية ومنها طريقة المحلول هلام -sol gel، والترسيب بالحمام الكيميائي، والترسيب الذري، والتحلل الكيميائي الحراري[4-6]. وتميز هذه الطريقة (التحلل الكيميائي الحراري) بكلفة تحضير واطئة، وسهولة ترسيب الأغشية، ومكونات المنظومة البسيطة، كذلك استقرارية الأغشية المحضرة في صفاتها الفيزيائية مع مرور الزمن والمساحات الواسعة للاستخدامات وتجانس الأغشية المحضرة وكذلك يمكن تحضير أغشية لمركبات ذات درجات انصهار عالية يصعب تحضيرها بطرائق أخرى كما ويمكن تحضير أغشية من مزيج لمادتين او اكثر لها درجات انصهار مختلفة مما جعل منها محل اهتماما في بحثنا الحالي[7]. ان المادة قيد الدراسة هي أوكسيد النحاس الذي رمزه الكيميائي CuO وهو من المواد شبه الموصولة ومن النوع p-type أي ان الحاملات الأغلبية للشحنة فيه هي الفجوات(Holes)[8]، ويمتلك فجوة طاقة ضيقة نسبياً بحدود 1.5 eV [9]، ومن مميزات هذا الاوكسيد لا يذوب في الماء او القواعد ولكن يذوب في الحامض وكثافته  $6.4 \text{ gm/cm}^3$  ويمتلك درجة انصهار عالية K(1399)[10] كما ويتميز بكونه عديم الرائحة وغير سام، وإمكانية توفره بسهولة ويمكن الحصول عليه من أكسدة النحاس، ويكون له تركيب بلوري أحادي الميل ومن نوع تركيب متتركز القاعدة (bcc) ويظهر في الطبيعة باللون البني الغامق المائل للسوداء[11]. نظراً لما يظهره أوكسيد النحاس من معامل امتصاص عال للأشعة الكهرومغناطيسية في المنطقة المرئية من الطيف الكهرومغناطيسي وجفوة طاقته المنخفضة نسبياً فهو يستخدم في الخلايا الشمسية (Solar Cell)[12] بالإضافة الى تطبيقاته الأخرى في متحسسات الغاز وبطاريات الليثيوم والمحفزات والبائط المغناطيسي وغيرها[13]، وبسبب هذه الخصائص التي يتميز بها وتطبيقاته الواسعة جعل منه مادة ذات اهمية يتدارسها الباحثون لدراسة خصائصها ومدى إمكانية تحسين خواصه[14].

## 2.الجزء العملي

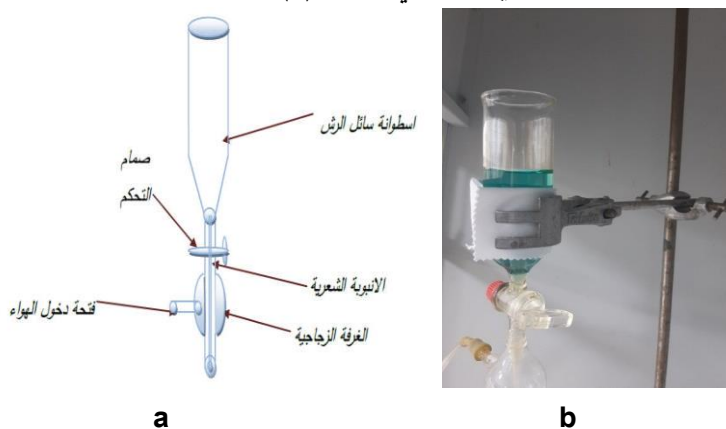
### 2.1 منظومة التحلل الكيميائي الحراري

تتكون هذه المنظومة (محلية الصنع) من عدد من الاجزاء البسيطة المرتبة بشكل يمكن من خلالها تحضير الأغشية الرقيقة ذات مواصفات جيدة وبmediات سمك مقاربة كما هو موضح بالشكل (1). تتألف المنظومة من الأجزاء التالية جهاز الرش، وبعد جهاز الرش من أهم أجزاء منظومة التحلل الحراري الكيميائي بالرش، إذ يتم تصنيعه محلياً من الزجاج الاعتيادي، ويحتوي على خزان يوضع فيه المحلول ويستوعب حوالي (100)ml ويكون مفتوحاً من الأعلى بفتحة نصف قطرها cm (1.5) وارتفاعه cm (8) وله صمام الغرض منه التحكم بكمية المحلول النازل إلى أنبوبة شعرية قطرها cm (0.1) وطولها cm (6)، وتحاط هذه الأنبوة بغرفة زجاجية منتقخة ذات شكل مخروطي مغلقة من الأعلى لاتصالها بالأنبوبة الشعرية ومفتوحة من الأسفل، وإن فتحة هذه الغرفة من الأعلى تحيط بفتحة الإنبوة الشعرية بنفس المستوى وتزود هذه الغرفة الهوائية بفتحة جانبية ليتسنى دخول الهواء المضغوط، إذ يخرج من الفتحة السفلية لها محيط بكافة جوانب فتحة الإنبوة الشعرية فيمتزج المحلول الخارج مع الهواء المضغوط ليكون بشكل رذاذ وعلى هيئة مخروط رأسه عند الإنبوة

الشعرية وقاعدته إلى الأسفل باتجاه الصفيحة الساخنة المراد ترسيب الأغشية عليها، ويبلغ طول جهاز الرش ككل حوالي (20)cm والشكل (2) يوضح هذا الجهاز.



الشكل (1)(1):(a) مخطط منظومة الحراري الكيميائي بالرش (b) صورة فوتوغرافية للمنظومة ( محلية الصنع).



الشكل (2) (a) مخطط توضيحي لجهاز الرش (b) صورة فوتوغرافية لجهاز الرش.

اما الجزء الثاني من منظومة الترسيب فهي ضاغطة الهواء (كومبريسر) تستعمل لغرض توفير الهواء الذي ينتقل الى جهاز الرش بواسطة أنبوبة كما هو موضح في الشكل (3-a)، اذ يتم التحكم بضغط الهواء المندفع عن طريق منظم ضغط الهواء الموجود في الضاغطة كما هو موضح في الشكل (3-b) فضلا عن وجود قفل لغلق الهواء وفتحه وهو متصل بالأنبوبة، وكذلك قفل لتقليل ضغط الهواء أو تثبيته على ضغط معين عند الرش.



الشكل (3) (a) صورة فوتوغرافية للكومبريسر (b) صورة فوتوغرافية لمقياس الضغط.

اما الجزء الثالث للمنظومة فهو مسخن القاعدة (الهيتر) اذ يستعمل لعرض تسخين القاعدة الى درجة حرارة معينة يتم ضبطها بحسب ظروف التحضير، اذ يتم ربط هذا المسخن مع الكونترول (متحكم) في تشغيله وإطفائه، وبالتالي سنتمكن من التحكم في حرارة القواعد الأساسية للأغشية المحضرة خلال عملية الترسيب وكما هو موضح في الشكل (4) حيث يجب غسل المسخن وتنظيفه بين عملية ترسيب وأخرى لتجنب تلوث العينات المحضرة.



الشكل (4) صورة فوتوغرافية للمسخن الكهربائي والحساس

اما الجزء الاخير للمنظومة فهو مسيطر درجة الحرارة ويربط مع مصدر الطاقة حيث يتم ربط المسخن معه بواسطة قاطع دورة كهربائية (Conductor) والذي يقطع التيار عند الوصول الى درجة الحرارة المطلوبة، دور هذا المسيطر يكون تشغيل وإطفاء المسخن عند درجة حرارة معينة يتم ضبطها من خلاله والتي يتم تحسسها بواسطة حساس من نوع (K) متصل به، ويحتوي الكونترول على شاشة صغيرة مربعة تتضمن رقمين، الرقم الأعلى أحمر اللون ويمثل الحرارة التي يتم قياسها وهي حرارة المسخن اما الرقم الذي في الأسفل فيكون اخضر اللون، ويتم التحكم به بواسطة زر يقع اسفل الشاشة ويمثل الحرارة المثبتة المراد الترسيب عندها وكما موضح في الشكل (5).



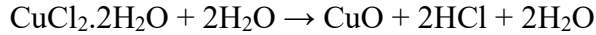
الشكل (5) صورة فوتوغرافية للمتحكم في درجة الحرارة.

## 2. تحضير الاغشية الرقيقة

### 2.2.1 تحضير محلول اوكسيد النحاس

لتحضير محلول مادة أوكسيد النحاس ( $\text{CuO}$ ) يتم ذلك باستخدام مادة كلوريد النحاس الثنائي المائي وهي مادة تكون بشكل مسحوق ازرق فاتح رمزها الكيميائي ( $\text{CuCl}_2 \cdot 2\text{H}_2\text{O}$ ) هندي المنشأ والمجهز من قبل شركة (THOMAS BAKER) وزنها الجزيئي 170.48gm/mol ولتحضير محلول تركيزه مساوي ل- M(0.1) وبدرجة حرارة الغرفة يتم اذابة 1.7048gm من كلوريد النحاس الثنائي المائي ولحساب كتلة مادة كلوريد النحاس الثنائي المائي استخدم ميزان الكتروني من نوع (Mettler AE-160) حساس تبلغ حساسيته  $10^{-4}$  gm. حضرت العينات في mL(100) من الماء المقطر ومن ثم يتم خلط المادتين بشكل جيد وذلك باستخدام الخلط المغناطيسي Magneticstirrer ولمدة 30min وذلك لضمان تجانس المحلول فنحصل على محلول ازرق اللون وللحصول على الوزن المراد اذابته نستخدم العلاقة التالية [15]:

٧: حجم الماء المقطر (100mL)، والمعادلة الكيميائية توضح عملية التحلل لمركب محلول المستخدم إذ ان  $M_t$ : التركيز المولاري،  $M_{wt}$ : كتلة مادة كلوريد النحاس الثنائي المائي،  $M_w$ : الوزن الجزيئي لمادة كلوريد النحاس الثنائي المائي،



## 2.2.2 تهيئة القواعد وتنظيفها

استخدمت في بحثا الحالي قواعد زجاجية (substrates) ذات منشأ صيني وبأبعاد  $2.5 \times 2.5 \text{ cm}^2$  وبسمك (1.2mm) بعد ان يتم تنظيفها جيداً وغسلها بالماء المقطر لمدة 5min بعد ذلك يتم رفع القواعد الزجاجية باستخدام ملقط خاص ووضعها في دورق يحتوي مادة كحول الايثانول ولنفس المدة المذكورة بالنسبة للماء المقطر ومن ثم تغمر في مادة الاسيتون ومن ثم تعاد للماء المقطر أيضاً لنفس الفترة الزمنية السابقة ثم تجفف العينات جيداً باستخدام ورق خاص بالتجفيف وقطع نسيج خاصة بتنظيف العدسات للتخلص من الشوائب والعوالق وبعد ذلك تم حساب وزن كل قاعدة وتسجيله على العلبة الخاصة بها وذلك لغرض معرفة سماكة الاغشية المحضرة فيما بعد.

### 2.2.3 ترسيب الاغشية الرقيقة

بعد اكتمال عملية التنظيف القواعد الزجاجية يتم تهيئتها للترسيب وذلك من خلال وضعها على سطح المحسن الكهربائي (الهيتر) والذ يتم تشغيله حسب شروط التشغيل المبينة أدناه للحصول على اغشية رقيقة متجانسة، ومتماسكة مع القاعدة الزجاجية من اوكسيد النحاس ( $\text{CuO}$ )، زمن الترسيب (10) sec، معدل الترسيب المستخدم (4) mL/min، فترة التوقف بعد كل رشة (180) sec، المسافة العمودية من فوهة جهاز الترذيز إلى القواعد (30) cm، درجة حرارة القواعد الزجاجية  $^{\circ}\text{C}$  (300، 350، 400)، عدد الرشات (10) رشات لكل درجة حرارة وضغط الهواء bar (2).

#### 2.2.4 قاس سمك الاغشية الرقيقة

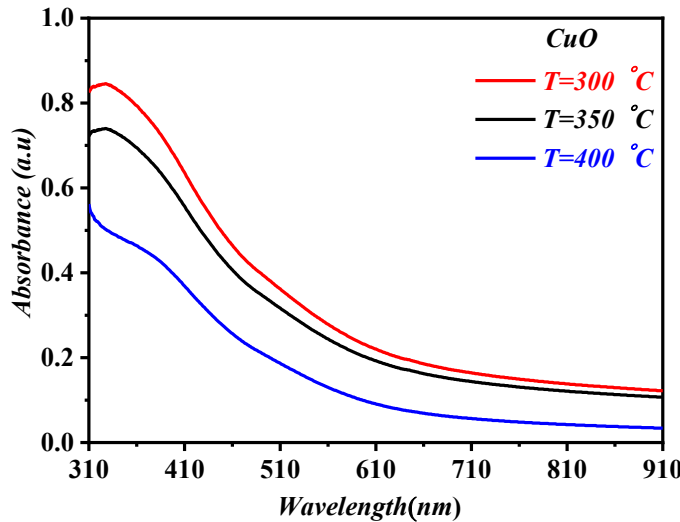
بعد ان تم ترسيب جميع الاغشية الرقيقة على القواعد الزجاجية اعيد وزن القواعد من جديد وذلك لغرض الحصول على سمك الاغشية المحضررة، اذ تم استخدام الطريقة الوزنية في قياس سمك الاغشية والتي نفذت باستخدام نفس الميزان المستخدم في عملية التحضير ومن خلال المعادلة التالية [3]:

اذ ان: ( $t$ ) سماكة الغشاء، ( $\Delta W$ ) الفرق في الوزن قبل وبعد الرش، ( $\rho$ ) كثافة مادة الغشاء ( $gm/cm^3$ ), ( $A$ ) مساحة الغشاء ( $cm^2$ ). من خلال إيجاد الفرق في الوزن تبين ان سماكة الاغشية المحضرية كان بحدود  $(200 nm)$  تقريباً، كما تمت جميع القياسات البصرية باستخدام جهاز المطياف البصري ( $UV-1800$ ) والمجهز من قبل شركة (*Shimadzu*) والذي يعمل في نطاق الاطوال الموجية  $(190-1100) nm$ .

### 3. النتائج والمناقشة

### 3.1. الامتصاصية والانعكاسة

تم حساب قيم طيف الامتصاصية لاغشية اوكسيد النحاس(CuO) للأطوال الموجية ضمن المدى nm(310-910) وتنظر أن الامتصاصية تتغير مع الطول الموجي، اذ نلاحظ أن الامتصاصية تسلك سلوك معاكس للنفاذية، اذ تبدأ بأعلى قيمة لها عند الطول الموجي nm(328) ومن ثم يبدأ طيف الامتصاصية بالانحلال الاسي مع زيادة الطول الموجي الى ان يصل الى أدنى قيمة عند الطول الموجي nm(700)، وبعدها يلاحظ ان قيمة طيف الامتصاصية تكون ثابتة ضمن المدى nm(700-910) كما موضح بالشكل(6)، بسبب قلة طاقة الفوتونات الساقطة وعدم قدرتها على رفع الالكترونات من حزمة التكافؤ الى حزمة التوصيل، اذ تكون العلاقة عكسية ما بين الطول الموجي وطاقة الفوتون ، وتفصير ذلك فيزيائياً هو أنَّ الفوتون الساقط لم يستطع تهيج الإلكترون ونقله من حزمة التكافؤ الى حزمة التوصيل، لأنَّ طاقة الفوتون الساقط اقل من قيمة فجوة الطاقة لغشاء (CuO) ولهذا نقل الامتصاصية بزيادة الطول الموجي [16].  
نلاحظ ايضاً نقصان الامتصاصية بزيادة درجة الحرارة وإنَّ أعلى نسبة لامتصاصية لاغشية كانت عند درجة حرارة  $^{\circ}\text{C}$  300 وأقل نسبة عند  $^{\circ}\text{C}$  400.

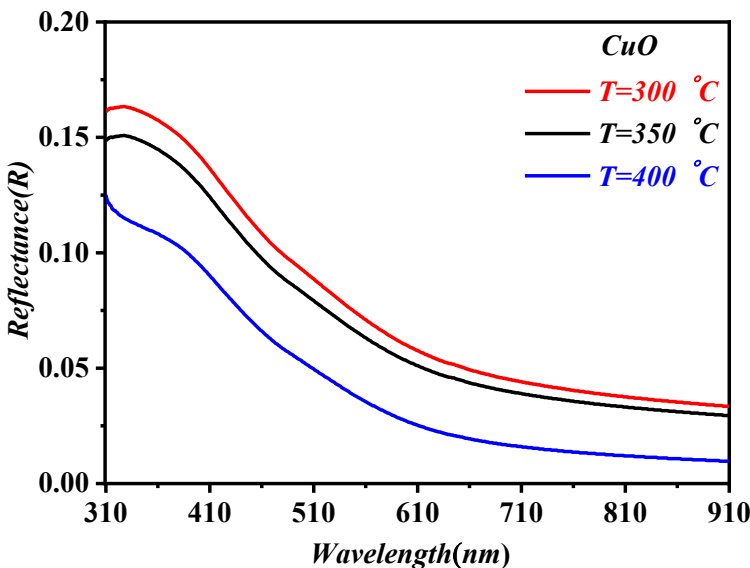


الشكل(6): يوضح الشكل طيف الامتصاص دالة للطول الموجي لاغشية أوكسيد النحاس (CuO).

اما الانعكاسية( $R$ ) فتم حسابها بالاعتماد على طيف النفاذية ( $T$ ) وطيف الامتصاصية ( $A$ ) بموجب قانون حفظ الطاقة بحسب المعادلة التالية [17].

$$A + T + R = 1 \dots \dots \dots (4)$$

ويوضح الشكل (7) الانعكاسية كدالة للطول الموجي لاغشية (CuO) المحضرة بدرجات حرارة مختلفة، نلاحظ من الشكل أن الانعكاسية على العكس من النفاذية انها تغيرت ايضاً مع تغير درجة حرارة الترسيب إذ ان اكبر قيمة للانعكاسية تم الحصول عليها كانت عند درجة 300°C واقل انعكاسية كانت عند 400°C وكما هو موضح في الشكل (7).



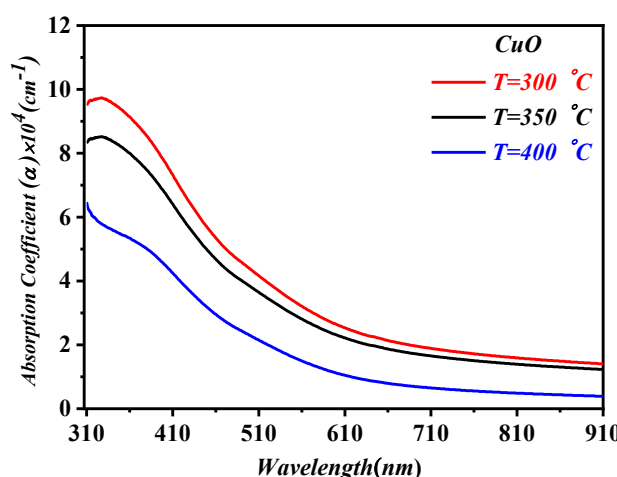
الشكل(7): يوضح الشكل طيف الانعكاسية دالة للطول الموجي لاغشية أوكسيد النحاس (CuO).

### 3.2. معاملات الامتصاص والخmod والانكسار

يُعرف بأنه نسبة النقصان في فيض طاقة الأشعاع بالنسبة لوحدة المسافة باتجاه انتشار الموجة داخل الوسط ويعتمد معامل الامتصاص على طاقة الفوتون الساقط ( $h\nu$ ) وعلى خواص شبه الموصل من حيث فجوة الطاقة ونوع الانتقالات الإلكترونية وطاقة الفوتونات الساقط وقد تم حساب معاملات الامتصاص لاغشية أوكسيد النحاس من المعادلة الآتية [18] :

اذ ان  $A$  الامتصاصية و  $t$  سمك الغشاء وفي دراستنا كان السمك  $.200 \text{ nm}$

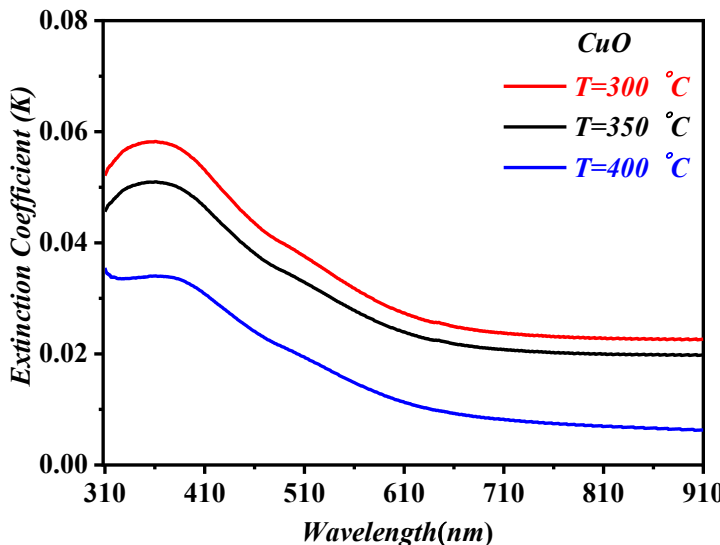
الشكل (8) يبين تغير معامل الامتصاص كدالة للطول الموجي لغشاء اوكسيد النحاس ولجميع درجات الحرارة قيد الدراسة أذ نلاحظ قيم معامل الامتصاص لأغشية اوكسيد النحاس ( $\text{CuO}$ ) عالي حيث أن  $\alpha > 10^4 \text{ cm}^{-1}$  عند حافة الامتصاص وهذا يساعد على توقع حدوث انقالات إلكترونية مباشرة مسمومة ، ان قيم معامل الامتصاص تقل بزيادة درجات حرارة القاعدة مما يدل على زيادة في تبلور الاغشية المحضرة وتقليل للعيوب البلورية.



الشكل(8): يوضح معامل الامتصاص دالة للطول الموجي لاغشية أوكسيد النحاس ( $\text{CuO}$ ).

$$K = \frac{\alpha \lambda}{4\pi} \dots \quad (6)$$

ومن الشكل (9) الذي يمثل تغير معامل الخمود كدالة للطول الموجي للأغشية اوكسيد النحاس ان سلوك منحنيات معامل الخمود مشابه تقريباً لسلوك معامل الامتصاص بسبب ارتباط العلاقة بينهما، أذ يقل معامل الخمود مع زيادة درجة حرارة ارضية الترسيب.

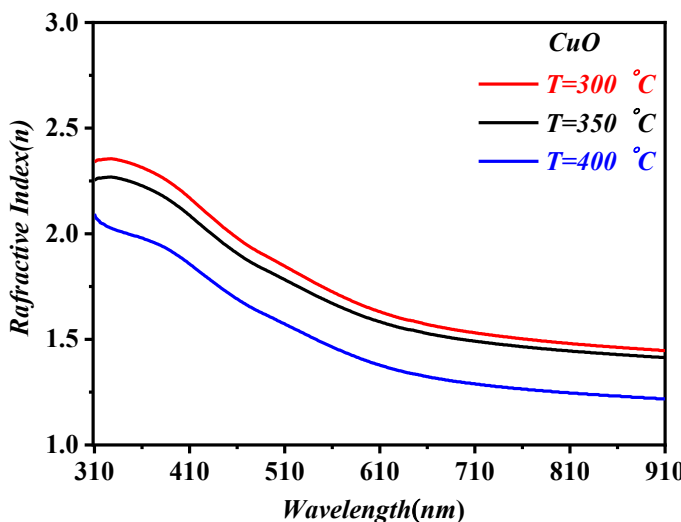


الشكل(9): يوضح الشكل معامل الخمود دالة للطول الموجي لاغشية أوكسيد النحاس (CuO).

اما فيما يخص معامل الانكسار (n) فهو النسبة بين سرعة الضوء في الفراغ الى سرعته داخل المادة ويعتمد معامل الانكسار على عدة عوامل ومنها نوع المادة وتركيبها البلوري، إذ تم حساب معامل الانكسار لاغشية اوكسيد النحاس (CuO) لدرجات حرارة مختلفة حسب العلاقة[20]

$$n = \sqrt{\frac{4R}{(R-1)^2} - K^2} - \left(\frac{R+1}{R-1}\right) \quad \dots \dots \dots \quad (7)$$

الشكل (10) يتضح ان طبيعة منحنيات معامل الانكسار مشابه لمنحنيات الانعكاسية وذلك لارتباط الانعكاسية مع معامل الانكسار وفقاً للمعادلة المذكورة انفاً، اذ نلاحظ انخفاضاً في منحنيات قيم معامل الانكسار عند زيادة درجة الحرارة في المنطقة المرئية من الاطوال الموجية وان هذا التغيير في منحنيات معامل الانكسار نتيجة لتغير درجات الحرارة كان نتيجة لطريقة تجمع حبيبات هذه الاغشية ونموها مما انعكس على كثافة هذه الاغشية.

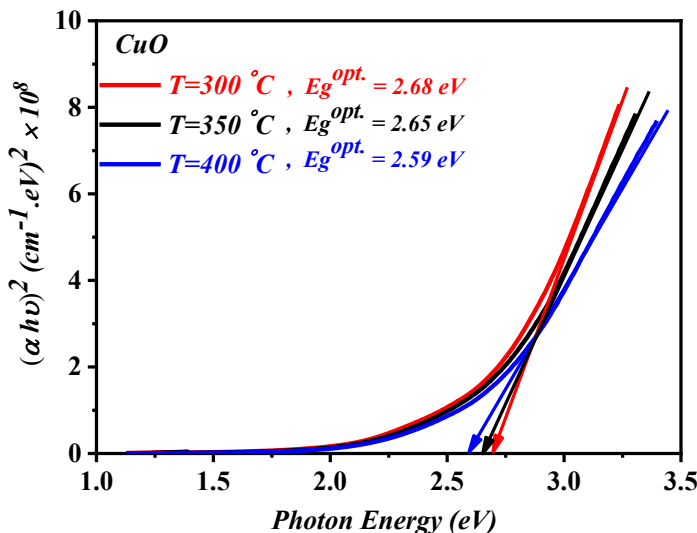


الشكل(10): يوضح الشكل معامل الانكسار دالة للطول الموجي لاغشية اوكسيد النحاس (CuO).

### 3.3. فجوة الطاقة البصرية

تم حساب فجوة الطاقة البصرية ( $E_g$ ) باستخدام معادلة (8) [21]. من خلال رسم أفضل امتداد لخط مستقيم بعد حافة الامتصاص الأساسية ليقطع محور طاقة الفوتون عند  $0 = \alpha h\nu^2$  يتم حساب فجوة الطاقة البصرية للانتقالات الالكترونية المباشرة لاغشية (CuO) كما في الشكل (11) اذ يوضح علاقة  $\alpha h\nu^2$  مع قيم ( $h\nu$ ) لطاقة الفوتون الساقط، اذ وجد أن قيم فجوة الطاقة البصرية للأغشية المرسيبة eV (2.68) عند درجة الحرارة  $0^\circ\text{C}$  أما عند درجة الحرارة  $0^\circ\text{C} 350$  فقد وجد أن فجوة الطاقة البصرية تقل بزيادة درجة الحرارة حتى تصل الى eV (2.65) وعند  $0^\circ\text{C} 400$  كانت eV (2.59) وسبب هذه النقصان في فجوة الطاقة البصرية بسبب هو عند زيادة درجة حرارة الترسيب تتقرب حزمة التكافؤ من حزمة التوصيل وهذا يعتبر جيد لتحسين خصائص الاكاسيد [15].

اذ ان  $\alpha$ : معامل الامتصاص،  $B$ : ثابت،  $E_g$ : فجوة الطاقة البصرية،  $\epsilon$ : ثابت يأخذ يعتمد على نوع الانقلالات الالكترونية و  $h$ : ثابت بلانك.



الشكل(11): يوضح الشكل قيم فجوة الطاقة البصرية للاغشية ( $CuO$ ) كدالة لطاقة الفوتون.

#### 4. الاستنتاجات

من خلال دراستنا للخصائص البصرية للأغشية المحضرة لوحظ أن قيم الامتصاصية والانعكاسية كدالة للطول الموجي نقل بزيادة درجة حرارة الترسيب أي درجة حرارة القاعدة، كما ودل التحليل الطيفي UV-Vis لهذه الأغشية ان الانتقال الإلكتروني للمادة هو من النوع المباشر وأن زيادة درجة حرارة القاعدة يؤدي إلى نقصان في قيم بعض الثوابت البصرية (معامل الامتصاص، ومعامل الخمود، ومعامل الانكسار) كدالة للطول الموجي، ومن القياسات البصرية نلاحظ ان فجوة الطاقة البصرية للانتقالات المباشرة المسمومة نقل بزيادة درجة حرارة القاعدة حيث كانت (2.59, 2.65 and 2.68) لدرجات الحرارة (300, 350 and 400)°C على التوالي.

### Acknowledgements

We thank the University of Mosul, College of Education for Pure Science, for contributing to the success of this study.

## 5. References

- [1].A. Lopez-Otero,“Hot wall epitaxy” thin solid films,Vol.49(3), pp.3-57.1978.doi.org/10.1016/0040-6090(78)90309-7
- [2].T. P. Rao, M.C. Kumar”Resistivity Stability of Ga Doped ZnO Thin Films with Heat Treatment in Air and Oxygen Atmospheres”Journal of Crystallization Process and Technology. Vol.2 No.2.pp.1-8.2012.DOI:10.4236/jcpt.2012.22010
- [3].K. N. Tu, Rosenberg ,” Preparation And Properties of Thin Films”, Academic Press, New York, 1982.
- [4].K.Seshan ,“Hand book of Thin-Film deposition processes and Technique” 2<sup>nd</sup> Edition, Noyes Publications ,New York .2002.
- [5].J.G. Simmons“.Conduction In Thin Dielectric Film”Journal of Physics D: Applied Physics, Vol.4.No.5 ,pp. 613-630 .1971. DOI 10.1088/0022-3727/4/5/202
- [6].K. H. Abass and D. M..Latif,“The Urbach Energy and Dispersion Parameters dependence of Substrate Temperature of CdO Thin Films Preparedby Chemical Spray Pyrolysis”.International Journal of ChemTech Research, Vol.9.No.9,pp 332-338. 2016.
- [7].S. Yonglong, “Development of Thin Film Photovoltaic Cellsbased on low cost metal Oxides” ,Athesis Submitted in PartialFulfillment of the requirement for the degree of doctor of philosophy,University of Bolton, 2014 .
- [8].S. Baturay, A. Tombak, D.Kaya, Y.S., Ocak, M., Tokus, M. Aydemir, and T., “Kilicoglu. Modification of electrical and optical properties of CuO thin films by Ni doping”. Journal of Sol-Gel Science and Technology, 78, pp.422-429. 2016.doi.org/10.1007/s10971-015-3953-4
- [9].O. Daoudi, Y. Qachaou, A. Raidou, K., Nouneh, M. Lharch, and M., Fahoume. “Study of the physical properties of CuO thin films grown by modified SILAR method for solar cells applications”. Superlattices and microstructures, Vol.127: pp.93-99.2019.doi.org/10.1016/j.spmi.2018.03.006
- [10]. Z. S. Razzaq, “Aluminum doping Nanostructured CuO Thin films to enhancement some physical properties,” Journal of College of Education, Vol. 3, pp. 45–52, 2021.
- [11]. S. K.Khashan, A.Jehan, I.Azhar, “Optical Properties of CuO Thin Films with Different Concentration by Spray Pyrolysis Method” ,Eng. & Tech.Journal, Vol. 32,Part (B), No.1, 2014.doi.org/10.30684/etj.32.1B.11
- [12]. S.M. Sze “Semiconductors Devices Physics and Technology “John wiley& sons., 1990.
- [13]. S. Dimitriev “ Under Standing Semiconductor Devices “ Griffith University , New York , Oxford , 2000.
- [14]. K. V. Ravi “Imperfection and Impurities in Semiconductor Silicon “ John Wiley and Sons , Ins , 1981.
- [15]. H. Mohammad, A. Rassol, H. Mekkilf, and H. Sahib, “Study the Structural , Optical and Electrical Conductivity Properties of Copper Oxide Thin Films Prepared by Chemical Bath Deposition,” Iraqi J. Sci. Technol., vol. 2, no. 6, pp. 1–10, 2016.
- [16]. F. Dagdelen, Z. Serbetci, R. K. Gupta, and F. Yakuphanoglu, “Preparation of nanostructured Bi-doped CdO thin films by sol-gel spin coating method” Mater. Lett., vol. 80, pp. 127–130, 2012.doi.org/10.1016/j.matlet.2012.04.087

- [17]. W. Kitteland E. A. De Wolf .“Soft multihadron dynamics”. World Scientific. 2005.
- [18]. E.Weingartner, H.Saatho, M., Schnaiter, et al., “Absorption of light by sootParticles: determination of the absorption coefficient by means of aethalometers”. *Aerosol Sci. Vol.34*, pp.1445–1463. 2003.doi.org/10.1016/S0021-8502(03)00359-8.
- [19]. A. Kurt, “Influence of AlCl<sub>3</sub> on the optical properties of new synthesized 3-armed Poly(methyl methacrylate)film”. *Turk. J. Chem. Vol. 34*, pp.67–79. 2010. doi.org/10.3906/kim-0903-29.
- [20]. M.D. Migahed, and H.M., Zidan, “ Influence of UV-irradiation on the structure and optical properties of polycarbonate films”. *Current Applied Physics*, 6(1), pp.91-96. 2006. doi:10.1016/j.cap.2004.12.009
- [21]. J.Tauc, R.,Grigorvici, A.Vancu,.“Optical properties and electronic structure of amorphous germanium”. *Phys. Status solid B. Vol. 15*, pp.627–637. 1966. doi.org/10.1002/ pssb.19660156224.

## دراسة الخصائص البصرية لأغشية أوكسيد النحاس الرقيقة المحضرة باستخدام تقنية التحلل الحراري الكيميائي

بالرش

عمر عايد حميد<sup>1</sup>, مشتاق عبد داود الجبوري<sup>2</sup>, حنان حسن الجديري<sup>3</sup>

<sup>2,1</sup> قسم الفيزياء، كلية التربية للعلوم الصرفة، جامعة الموصل، الموصل، العراق

<sup>3</sup> قسم الفيزياء، كلية العلوم، جامعة الزاوية، الزاوية، ليبيا

### الخلاصة

تم في هذا البحث ترسيب أغشية أوكسيد النحاس (CuO) الرقيقة على قواعد من الزجاج بطريقة التحلل الحراري الكيميائي بالرش ولدرجات حرارة مختلفة C<sup>0</sup> (300, 350, 400) بضغط bar (2) وبمعدل (10) رشات خلال فترة زمنية (10) ثانية لكل رشة، إذ تم تجميع وبناء منظومة التحلل الحراري الكيميائي بالرش وتهيئتها وتجهيزها لتحضير المواد على هيئة أغشية رقيقة لهذه الدراسة، درست الخواص البصرية لهذه الأغشية من خلال قياس طيفي الامتصاصية والانعكاسية للأغشية المحضرة ولمدى من الأطوال الموجية (310-910nm) باستخدام مطياف مزدوج الحزمة (UV-VIS Double Beam Spectrophotometer) وتبيّن أنَّ الامتصاصية تتغير مع الطول الموجي، إذ نلاحظ أنَّ الامتصاصية تسلك سلوكاً معاكساً للنفاذية، إذ تبدأ بأعلى قيمة لها عند الطول الموجي (328nm) ومن ثم يبدا طيف الامتصاصية بالانحدار الاسي مع زيادة الطول الموجي إلى ان يصل إلى أدنى قيمة للامتصاصية عند الطول الموجي (700nm) كما ولاحظ ان قيمة طيف الامتصاصية تكون ثابتة ضمن المدى (700-910nm) إذ بلغت أعلى قيمة للامتصاصية عند درجة حرارة C<sup>0</sup> (300) واقل قيمة عند C<sup>0</sup> (400) وكذلك الحال في الانعكاسية البصرية. وتم حساب فجوة الطاقة الممنوعة للانتقالات المباشرة المسماومة واظهرت النتائج أنَّ قيمتها بحدود (2.68-2.59)eV وانها تقل بزيادة درجات الحرارة وكذلك بينت نتائج بعض الثوابت البصرية ان هناك نقاصاً في كل من معامل الامتصاص ومعامل الخمود ومعامل الانكسار بزيادة درجة حرارة القاعدة.